

コモディティOSとメモリマップによるクラスタシステムの実装

金井 遼[†] 森 拓郎[†] 荒木 健志[†]
田邊 昇^{††} 中條 拓伯[†] 並木 美太郎[†]

本論文では、分散ファイルシステム(DFS)およびメモリマップトファイル機能を利用してOSに手を加えることなく分散共有メモリ(DSM)を実装し、カーネルに手を加えることができないコモディティOS上でクラスタシステムを実現する方法を提案する。大容量バッファを持った高速なネットワークインターフェースであるDIMMnet-2を用い、Windows上で複数のDIMMnet-2の大容量バッファをまとめて一つのDFSおよび、DSMとして利用するドライバとライブラリを設計、実装した。評価では実際に、DSMを用いていくつかの分散処理実験を行った。特に行列乗算による評価では、2ノードの分散処理において1.99倍の性能向上が予測できた。

Implementation of PC Cluster System with Memory Mapped File by Commodity OS

JUN KANAI,[†] TAKURO MORI,[†] TAKESHI ARAKI,[†]
NOBORU TANABE,^{††} HIRONORI NAKAJO[†] and MITARO NAMIKI[†]

This paper describes implementation of Distributed Shared Memory(DSM) by using Distributed File System(DFS) and Memory Mapped File without changing source code of OS in order to implement PC Cluster System for a non-open source commodity OS. We have designed and implemented a DFS device driver and a DSM library by plural high-speed network interface cards named DIMMnet-2 with mass buffer for Microsoft Windows. As a result of matrix multiplication evaluation, up to 1.99 times higher performance has been gained by 2-nodes distributed parallel execution.

1. はじめに

近年、HPC(High Performance Computing)の分野において、多数のPCを相互に接続したPCクラスタシステムの躍進は目覚しい。現在のクラスタシステムの環境はほとんどがUnixをベースとしたものである。しかし、今やMicrosoft Windowsのシェアは97%以上に達し、今後の分散処理においても重要な存在になり得ると考えられる。Windows環境下での分散コンピューティングの可能性を示すことは、ソースコードがなく、OSのカーネルに手を加えることができないコモディティOS環境での分散処理の可能性を示すことにもなる。

PCクラスタの躍進を背景に、安価にシステムを構築できるDIMMスロットへハードウェアを接続するHPC用高速ネットワークインターフェースDIMMnet-2³⁾が開発された。DIMMnet-2は従来の汎用バスに接続するタイプのHPC用NICに比べ1/10程度のアクセスレイテンシ、最上位レベルの帯域幅を実現している。また、DIMMnet-2は、SO-DIMMによる数百MB～数GBの大容量バッファを持ち、通信用バッファやデータ待避用領域として利用することが可能である。

しかし、DIMMnet-2はシステムソフトウェア面では、Linux用にコマンド発行のための低レベルなドライバがあるのみで、WindowsをはじめとしたコモディティOS環境下での分散処理環境が整っていない。そこで本稿では、

DIMMnet-2を用い、Windows向けにDIMMnet-2用デバイスドライバを設計および実装することで、OSに手を加えることなく、コモディティOSとメモリマップによってクラスタシステムを構築し、評価を行う。

2. DIMMnet-2プログラミングの問題点

本章では、従来のクラスタシステムで用いられるデータ共有方法であるメッセージパッシングと分散共有メモリ(DSM)について述べ、DIMMnet-2とコモディティOS環境下での実現方法について考察する。

メッセージパッシングは、データ共有を行うために明示的にデータのやりとりを行う方法であり、現在、HPCにおいて最も多く利用される分散データによるプログラミング方法である。MPI¹⁾をはじめとしたメッセージパッシングでは、一般的に性能が優れるという利点があるが、一方でデータの送受信について明示しなければならないため、プログラマにとって負担が大きい。メッセージパッシングを実現する場合、帯域や遅延が最重要視されるため、OSを介することによるオーバヘッドを極力減らす必要があり、ユーザランドで処理を行うのが望ましい。そのためには既存のLinux用DIMMnet-2ドライバにおいては各バッファ(ウインドウ)やレジスタをユーザ空間にマップした上で、DIMMnet-2のウインドウを用いた複雑な間接アクセス機構を意識しながら、明示的にコマンド発行を記述する必要があり、プログラミングの手間がかかる。

一方、分散共有メモリ方式(DSM)は分散メモリ型マシンにおいて、実際に共有メモリがなくても共有メモリが存

[†] 東京農工大学

Tokyo University of Agriculture and Technology

^{††}(株)東芝、研究開発センター

Corporate Research and Development Center, Toshiba

在するように見せかける技術である。DSM方式では、明示的にデータのやりとりを記述する必要がないため、プログラミングが容易である一方で、メッセージパッシング型よりも性能が劣ることが多い。

従来のMMUを利用するDSMでの問題は、今回のようにOSに手を加えることが出来ない環境下で利用が難しいこと、ユーザモードのみでDSMを実現する場合の問題はMMUが利用できずオーバヘッドが発生することである。そこで、本稿ではメモリマップトファイルとDFSにより、OSに手を加えることができない環境下で間接的にMMUを利用してDSMを実現する方法を提案する。

メモリマップトファイルは仮想アドレス空間にファイルをマップする方法であり、MMUを利用して実装される。DFS上に共有データを置き、メモリマップトファイルを利用することで、OSに手を加えずにMMUを利用して、DSMの実現ができる。共有メモリを作成した場合に自動的に必要なページのみがロード、データページのみがライトされるため、通信頻度の最適化やDSM管理用ソフトウェアによるオーバヘッドの削減が可能である。また、各ノードでキャッシュを持ち、速度面で優位である。

また、本方式でDSMを実現する場合、ドライバレベルでDFSを実装するのみで良く比較的実装が容易であると考える。DIMMnet-2においては大規模なSO-DIMMによるバッファを持ち、ネットワークを利用し、広帯域・低遅延なSO-DIMM内のデータの送受信が可能である。このバッファをDFSやDSMの記憶領域とするDFSやDSMが本方式に適すると考える。

3. 本研究の目標

本研究ではWindowsとメモリマップおよびDIMMnet-2を利用して、クラスタシステムを構築し、評価を行う。

そこで、まずDIMMnet-2の大容量バッファをRAMディスクのディスク領域として利用する分散ストレージドライバAT-dRAMを開発し、DSMを実現し評価を行う。また、従来の主記憶の代替手段として、実用的な速度を実現できるかを検証する。次に、通信をユーザモードのみで完結し、高速なメッセージパッシングシステムを実現や、DIMMnet-2の拡張機能の利用を可能にするためのドライバMT-dNETを開発し、有用性について検証する。

4. クラスタシステム用ドライバの概要

前章で述べた考察をもとに、AT-dRAMおよびMT-dNETの設計、実装について述べる。今回開発したシステムの全体構成を図1に示す。

AT-dRAMは、DIMMnet-2の大容量バッファをディスク領域とするRAMディスクドライバであり、DIMMnet-2の煩雑な間接アクセス機構をプログラマに対して隠蔽するとともに、クラスタシステムで多く利用されるDSM、DFSを実現する。AT-dRAMでは、複数のDIMMnet-2を一つのディスクとして仮想化し、リモートのDIMMnet-2の大容量バッファへのアクセスを隠蔽する。これにより、通常のファイルアクセス手段により、ローカルとリモートのDIMMnet-2大容量バッファへのアクセスが可能になる。

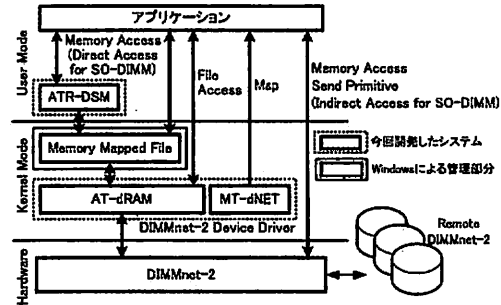


図1 システム全体構成図

```
mat_a = (CAST)dn_malloc(MATSIZE);
mat_b = (CAST)dn_malloc(MATSIZE);
mat_c = (CAST)dn_malloc(MATSIZE);
//通常の主記憶利用と同じ方法
for (i = 0; i < SIZE; i++)
    for (j = 0; j < SIZE; j++)
        for (k = 0; k < SIZE; k++)
            (*mat_c)[i][j] += (*mat_a)[i][k]
                           * (*mat_b)[k][j];
```

図2 行列乗算例(AT-dRAMとメモリマップトファイル利用)

複数のノードにおいてドライバをロードすることで、DFSとしての利用も可能である。また、従来のDIMMnet-2プログラミングではDIMMnet-2の間接アクセス機構を意識する必要があったが、メモリマップトファイルの利用により、従来の主記憶を利用するアルゴリズムがそのまま適用可能になり、DIMMnet-2プログラミングが容易となる。さらに、複数のノードから同一のファイルをマップすることにより、DSMとしての利用が可能である。

分散処理を行う場合に、より実用的なDSMとするためには、共有メモリ領域の作成やバリア同期等の機能が必要になる。そのため、これらの機能をサポートするライブラリATR-DSMも同時に開発した。厳密なDSMとする場合、一貫性制御が必要になるが、今回の場合は性能を最重視し、ライブラリでの一貫性制御は行わず、明示的にデータのフラッシュ、更新を行う仕組みとした。

一方で、メッセージパッシングシステムの実装、ストライド命令をはじめとした各種拡張命令の利用時など、OSによるオーバヘッドを減らし、明示的にDIMMnet-2を操作したい場合が存在する。そこで、応用プログラムからユーザモードのみでDIMMnet-2の明示的な操作を可能にするドライバMT-dNETを開発した。

MT-dNETでは各種ウインドウやレジスタをプロセスのユーザー空間へマップする機能を提供する。これにより大容量バッファへのアクセスや、リモートノードのDIMMnet-2へのアクセスをユーザモードで完結することが可能になり、OS呼出しによるオーバヘッドをなくし、通信の遅延を極力おさえることが可能である。

5. プログラミング例

5.1 ローカルでのプログラミング例

AT-dRAMと、ユーザモードライブラリを使い、行列の乗算を行う場合のプログラミング例を図2に示す。

例より、AT-dRAMではDIMMnet-2の間接アクセス機構を意識することなく、従来とほぼ同じアルゴリズムが

適用可能であり、プログラミングが容易である。また、ファイルシステムキャッシュが利用可能なため、DIMMnet-2へのアクセスが最低限に抑えられ、性能向上が期待できる。

6. 評価

6.1 OSによる各種オーバヘッド

AT-dRAMはストレージシステムという形で実装されているため、ドライバ呼出し等のコストが発生する。よって、ここでは下記式を用い、明示的にAPIを利用してファイルアクセスを行った場合のOSによるオーバヘッドを計算した。ここで、 T_{os} はOSによるオーバヘッド、 N_{call} はAPIによるOS呼出し回数の実測値、 N_{size} は一度に転送するサイズの実測値、 T_{TR} は一度の転送にかかる時間の実測値である。総時間とAPI呼び出し回数の差、 ΔT_{all} 、 ΔN_{call} を求ることにより、1回のOS呼出しにかかるコストを計算している。

$$T_{all} = T_{os}N_{call} + N_{size}T_{TR} \quad (1)$$

$$T_{os} = \Delta T_{all}/\Delta N_{call} \quad (2)$$

統いて、メモリマップトファイルを用いてファイルアクセスを行った場合のOSのオーバヘッド T_{mmmap} を計算した。読み込みの場合、ページ毎(4KB)にページフォールトが発生し、ストレージドライバが呼び出され、該当ページのデータがディスクから読み込まれる。

$$T_{mmmap} = (T_{all} - T_{TR}N_{size})/N_{page} \quad (3)$$

ディスクからの読み込みにかかる時間は(1)式から算出可能であり、これを用い、(3)式からメモリマップトファイルを利用した場合のページ単位のOSのオーバヘッドを計測した。 T_{TR} は単位あたりのディスクからの読み込み時間の実測値を、 N_{size} の実測値は読み込んだサイズの合計を、 N_{page} はページ数の計算値をそれぞれ表す。

メモリマップトファイル利用時のデータ書き込みは基本的にOSにより自動的に行われるが、明示的に書き込みを指示することもでき、ATR-DSMではこちらを主に利用する。この場合のオーバヘッドを(2)式により計算した。オーバヘッドをまとめたものを表1に示す。

メモリマップトファイルを利用した場合では、ReadFileAPIを利用した場合に比べ、オーバヘッドが大きくなっているが、メモリマップトファイルでは最初の一回のアクセスのみでこのオーバヘッドが発生するため、明示的に複数回ReadFileを呼ぶような場合に比べると、性能的に有利である。

6.2 DIMMnet-2ホスト間転送速度

MT-dNETを用いて、OSを介さない場合のDIMMnet-2のSO-DIMMバッファとホストメモリ間の転送性能の計測を行った。結果を図3に示す。

現在、ハードウェアの不具合が若干あり、DIMMnet-2の各ウィンドウのキャッシュ属性はUncachedとして動作している。将来的にはWrite Window(SO-DIMM書き込み用バッファ)はWriteCombineに、Prefetch Window(SO-

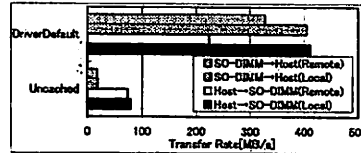


図3 DIMMnet-2 ホスト間転送速度(実測値)

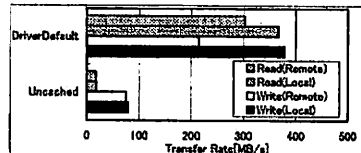


図4 ディスク性能(DriverDefaultは推定値)

DIMM読み込み用バッファはCached^{*}で動作するようになり、大幅な性能向上が望める。

6.3 分散ファイルシステム性能

キャッシュ属性Uncachedの場合のDFS性能とドライバを介さない場合のDIMMnet-2のSO-DIMMバッファとホストメモリ間の転送性能の実測値と下記式を用いて、DriverDefaultの場合のディスク性能 T_{DD} を見積った。

$$T_{DD} = T_{os} + T_{DDDD} \quad (4)$$

$$= (T_{all} - T_{DUN}) + T_{DDDD} \quad (5)$$

ここで T_{os} は、OS呼出しによるオーバヘッドを、 T_{DDDD} は実測値でDriverDefaultでOSを介さない場合のSO-DIMMへの転送時間を、 T_{all} は実測値でUncachedでOSを介した場合のファイルアクセス時間の総計を、 T_{DUN} は実測値でUncachedでOSを介しない場合のSO-DIMMへの転送時間を表す。

結果を図4に示す。DriverDefaultでは、MT-dNETを利用する場合に比べ、ディスク化した場合にはファイルシステム管理や、OSによるオーバヘッドが原因となり、最大9%の性能低下になっているが、GbEでSMBを用いてディスク共有を行った場合の性能上限30[MB/s]と比べると最大12倍以上になり、DFSとして大幅な性能向上を達成できると考えられる。

6.4 分散処理による評価

AT-dRAMおよびATR-DSMを用いて、各種分散処理に関する評価を行った。なお前述したとおり、現在DIMMnet-2の各ウィンドウのキャッシュ属性がUncachedとして動作しており、ハードウェアの不具合の修正により性能が改善した場合の性能予測を下記式を用いて行った。

$$T_{all} = T_{os} + T_{barrier} + T_{tr} + T_{calc} \quad (6)$$

$$T_{os} = T_{mmmap}N_{page} + T_{flush}N_{flush} \quad (7)$$

$$T_{tr} = \sum_{i=0}^N Tr_i N_{r_i} + \sum_{i=0}^N Tw_i N_{w_i} \quad (8)$$

$$T_{barrier} = T_{all} - max(T_{os_i} + T_{tr_i} + T_{calc_i}) \quad (9)$$

ここでディスクへの読み込み回数 N_{r_i} 、書き込み回数 N_{w_i} 、およびUncachedの場合の読み込み時間 Tr_i 、書き込み時間 Tw_i は実測値である。現在、リモート転送に関して、ソフトウェアで再送制御を行っており、 i が1以

表1 ファイルアクセスのOSオーバヘッド

	Read[μ s]	Write[μ s]
ReadFile/WriteFileAPI	4.27	3.75
MemoryMappedFile	9.87	4.39

* このキャッシュ属性の組み合わせをDriverDefaultとよぶ

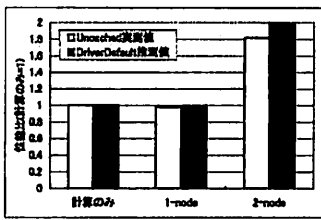


図 5 分散行列乗算結果 ($N=1024$)

上の時は、再送に関しての所要時間および回数である。再送にかかる時間 T_{re} , T_{wi} は、再送回数が増えるにしたがい増える。最終的には、DIMMnet-2 ではソフトウェアによる再送制御は必要なくなるため、 i が 1 以上の時 N_{ri} , N_{wi} は 0 となる。キャッシュ属性を DriverDefault にした場合の T_{wi} , T_{re} は、図 3 のデータを用い、転送時間の合計 T_{tr} を推定している。 T_{os} はページフォールトによる OS 呼出しと、データのフラッシュによる OS 呼出しのオーバヘッドであり、ページフォールトによる OS 呼出しは 1 回あたりのページフォールトによるオーバヘッドの計算値 T_{mmap} とページ数の計算値 N_{page} の積、データのフラッシュによる OS 呼出しのオーバヘッドは、1 回あたりのフラッシュのオーバヘッドの計算値 T_{flush} とフラッシュ回数の計算値 N_{flush} の積から算出される。これらにはディスクへの転送時間は含まれない。 $T_{barrier}$ はバリア同期に要する時間の合計で計算値である。 $T_{barrier}$ は実測により、最低 1[ms] かかることが計測されており、各ノードでの可変値で各ノードでの T_{all} が同一になるような数値になる。 T_{code} は、OS のオーバヘッド、ディスクへの転送時間、バリア同期に要する時間を除いた計算時間の総計の実測値である。

(1) 行列乗算

単純な分散処理による評価として、求める行列 ($N \times N$ 行列) を列方向に P 個に分割し、分散処理を行い、行列積を求める所要時間を計測した。結果を図 5 に示す。なお、ページフォールト回数 N_{page} は下記式で求めた。 $size_dbl$ は double 型のサイズを示す。

$$N_{page} = (N^2 + N^2/P) * size_dbl / 4096 \quad (10)$$

行列乗算では計算に要する総時間 $O(n^3)$ に占めるディスクアクセスの割合が少なく、また、各ノードでの計算量が同一な上、同期を取る必要がほとんどないため、非常に効率的に並列化が行える。今回の場合においても、2 台での計算では約 1.99 倍の性能を実現できる。

(2) Wisconsin Benchmark

Wisconsin Benchmark はデータベースの性能を測定するベンチマークである。図 6 のようなクエリに関して、C 言語で記述し、規定された表形式のデータの格納先を DIMMnet-2 の SO-DIMM およびハードディスクに変えて性能測定を行った。Wisconsin Benchmark を分散処理させた結果を図 7、なお、ページフォールト回数 N_{page} は下記式により求めた。 N_{tuple} はタプル数の合計である。

$$N_{page} = \sum_{i=0}^n (N_{tuple_i} * tuple_size) / 4096 \quad (11)$$

単純な join のないクエリでは、ディスク性能が大きく影

```
(Q1) select * from tank1 where (unique2 > 301) and (unique2 < 402)
(Q3) select * from tank1 where unique2 = 2001
(Q4) select * from tank1 t1,tank1 t2 where
      (t1.unique2 = t2.unique2) and (t2.unique2 < 1000)
(Q7) select MIN(unique2) from tank1
```

図 6 Wisconsin Benchmark クエリ (抜粋)

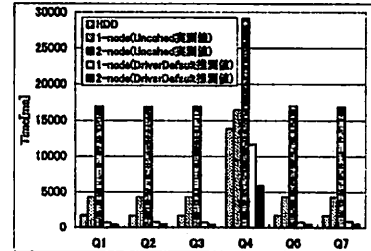


図 7 Wisconsin Benchmark 結果

響し、Q1 では HDD に対して 2.49 倍の性能向上となっている。逆に分散処理が有用に働くのは join があるクエリ (Q4,Q6) であり、Q4 の場合には、1 ノードの場合に対して 1.97 倍の性能向上となった。データベースのような膨大なデータの格納が要求される分野においても AT-dRAM と DIMMnet-2 は有効である。

7. おわりに

本研究では、Windows 向けの DIMMnet-2 用ドライバを開発した。さらにクラスタシステムを構築し、分散処理に関する評価を行った。結果、Windows 上での DIMMnet-2 による分散処理を行うことができ、評価実験からは分散処理により 2 ノードで最大 1.99 倍の性能向上が予測でき、クラスタシステムとしての有用性を示すことができた。また、本研究では DIMMnet-2 および、Windows を対象として試験を行ったが、本論文での提案は DIMMnet-2 および、Windows のみに限定されるわけではない。OS のカーネルに手を加えることができないコモディティ OS 環境下で、デバイスドライバとメモリマップトファイルの組み合わせによる分散処理に特化したハードウェアでの分散処理の可能性を示したものであるといえる。

参考文献

- W. Gropp, E. Lusk: A High-Performance, Portable Implementation of the MPI Message Passing Interface Standard, Parallel Computing, Vol. 22, No. 6, pp. 789–828 (1996.9).
- P. Keleher, S. Dwarkadas, A. L.Cox, and W. Zwaenepoel: TreadMarks: Distributed Shared Memory on Standard Workstations and Operating Systems, Proc. of the Winter 94 Usenix Conf., pp. 115–131 (1994.1).
- 北村, 濱田, 宮部, 伊澤, 宮代, 田邊, 中條, 天野: DIMMnet-2 ネットワークインタフェースコントローラの設計と実装, IPSJ, Vol.46, No.SIG 12, pp.13–26 (2005.8).
- 丹羽, 松本, 平木: コンパイラが支援するソフトウェア DSM 機構: ADSM と UDSM の性能評価, IPSJ 99-HPC-77 (SWoPP'99), Vol. 99, No. 66, pp. 95–100 (1999.10)